

# 牡荆素保护DNA氧化损伤的活性评价及机制分析

Active evaluation of DNA protection to oxidative damage and its possible mechanisms of vitexin *in vitro*

陈班 李达欢 李熙灿

CHEN Ban LI Da-huan LI Xi-can

(广州中医药大学中药学院, 广东 广州 510006)

(School of Pharmaceutical Sciences, Guangzhou University of Chinese Medicine, Guangzhou, Guangdong 510006, China)

**摘要:**采用DNA保护能力分析法,测定牡荆素保护DNA的能力;运用Ferrozine法和紫外可见光谱(UV-Vis)分析牡荆素 $\text{Fe}^{2+}$ 络合反应;运用 $\text{Cu}^{2+}$ 还原法,测定牡荆素的电子转移(Electron-transfer, ET)能力。在此基础上,探讨牡荆素保护DNA氧化损伤的可能化学机制。结果表明:牡荆素在DNA保护能力分析法、Ferrozine法和 $\text{Cu}^{2+}$ 还原法中均表现出剂量相关性,其 $IC_{50}$ 值分别为 $(919.6 \pm 23.6)$ , $(9.3 \pm 1.2)$ , $(421.7 \pm 29.2)$   $\mu\text{mol/L}$ 。UV-Vis光谱分析表明,牡荆素与 $\text{Fe}^{2+}$ 混合后,在波长554 nm处出现新的吸收峰[摩尔吸光系数 $\epsilon = 2680.74 \text{ L/(mol} \cdot \text{cm)}$ ]。总之,牡荆素能保护DNA免受羟基自由基( $\cdot\text{OH}$ )诱导的氧化损伤。其保护机制可能与电子转移ET和 $\text{Fe}^{2+}$ 络合有关,络合位点可能在4-羧基-5-羟基之间。

**关键词:**牡荆素;DNA氧化损伤;抗氧化;电子转移

**Abstract:** In order to study the DNA protection and possible mechanisms of vitexin, it was measured by using three spectrophotometric assays, including DNA protection,  $\text{Fe}^{2+}$ -complexing, and  $\text{Cu}^{2+}$  reducing. In addition, its  $\text{Fe}^{2+}$ -complexing reaction was also analyzed using UV-Vis spectra. The results showed that the  $IC_{50}$  values of vitexin were  $(919.6 \pm 23.6)$ ,  $(9.3 \pm 1.2)$  and  $(421.7 \pm 29.2)$   $\mu\text{mol/L}$ , respectively, for DNA protection assay,  $\text{Fe}^{2+}$ -complexing assay, and  $\text{Cu}^{2+}$  reducing assay. When mixed with  $\text{Fe}^{2+}$ , vitexin gave a UV-Vis peak at 554 nm [molar absorptivity  $\epsilon = 2680.74 \text{ L/(mol} \cdot \text{cm)}$ ]. In conclusion, vitexin can effectively protect DNA from  $\cdot\text{OH}$  induced damage. The protective mechanism may include electron-transfer (ET) and  $\text{Fe}^{2+}$ -complexing, and its  $\text{Fe}^{2+}$ -complexing site is possibly between 4-carboxyl and 5-hydroxyl groups.

**基金项目:**国家自然科学基金项目(编号:81573558);粤港澳联合创新项目(编号:2017A050506043)

**作者简介:**陈班,男,广州中医药大学在读硕士研究生。

**通信作者:**李熙灿(1970—),男,广州中医药大学教授,博士生导师,硕士。E-mail: lixican@126.com

**收稿日期:**2017-08-25

**Keywords:** vitexin; oxidative DNA damage; antioxidation; electron-transfer

由活性氧(Reactive Oxygen Species, ROS)引起的DNA氧化损伤,可以导致细胞的氧化应激,引起基因突变、癌变以及神经退行性病变<sup>[1]</sup>。羟自由基( $\cdot\text{OH}$ )为ROS中最具杀伤力的自由基,既可以进攻DNA中的鸟嘌呤碱基,生成8-羟基-2'-脱氧鸟嘌呤核苷(8-hydroxy-2'-deoxyguanosine, 8-OHdG),也可以进攻脱氧核糖骨架,生成丙二醛(malondialdehyde, MDA)等产物。8-OHdG与MDA,均是细胞氧化应激的毒性产物<sup>[2]</sup>。所以,8-OHdG已作为重要生物标识物,用于DNA氧化损伤相关疾病的筛查<sup>[3]</sup>。而脐带血中的MDA含量的检测,可用于判断早产儿的氧化应激状况与DNA损伤的水平<sup>[4]</sup>。因此,寻找合适的抗氧化剂,保护DNA免受氧化损伤,减少相关毒性产物的生成,已成为自由基生物医学研究的一项重要内容。

前期的研究<sup>[5]</sup>表明,食用植物中的抗氧化成分主要为多酚类化合物。可食用的多酚主要有黄酮及黄酮苷、类黄酮、双黄酮等,其中以黄酮及黄酮苷最常见。牡荆素(vitexin, apigenin-8-C-glucoside)是一种典型的黄酮类化合物(图1),存在于山楂等可食用植物中。据文献<sup>[6]</sup>报道,山楂叶的牡荆素含量为0.04~0.06 mg/g。含有牡荆素的山楂叶总黄酮有抗心肌缺血及再灌注损伤、降低血脂等药理活性,这些药理活性与总黄酮的抗氧化性均有直接关联<sup>[7]</sup>。

此前,一些零星报道<sup>[8-10]</sup>提及牡荆素的抗氧化作用,不过,尚未涉及牡荆素对DNA氧化损伤的修复(或保护)活性。本试验拟采用DNA保护能力分析法,研究牡荆素的DNA保护能力;运用Ferrozine法和紫外可见光谱(UV-Vis)法,分析其 $\text{Fe}^{2+}$ 络合反应;运用 $\text{Cu}^{2+}$ 还原法,测定其电子转移ET(Electron-transfer)能力。在此基础上,进一步阐释牡荆素保护DNA氧化损伤可能的化学机制,为牡荆素应用于DNA

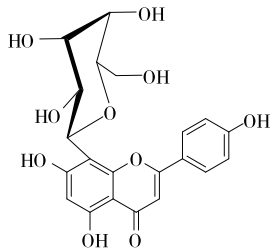


图1 牡荆素结构式

Figure 1 The structure of vitexin

氧化损伤相关疾病的防治提供依据。

## 1 材料与方法

### 1.1 材料与仪器

牡荆素(CAS:3681-93-4);HPLC $\geqslant$ 98%,四川省维克奇生物科技有限公司;

Trolox(水溶性维生素E)、BHA(丁基羟基茴香醚)、Ferrozine(菲洛嗪)、Neocuproine(新铜试剂):分析纯,西格玛奥德里奇(上海)贸易有限公司;

ABTS(2'-联氨-双-3-乙基苯并噻唑啉-6-磺酸)、鱼精DNA钠盐:分析纯,美国Amresco公司;

$\text{KH}_2\text{PO}_4$ 、 $\text{Na}_2\text{HPO}_4$ 、 $\text{Na}_2\text{EDTA}$ 、 $\text{FeCl}_3$ 、 $\text{CuSO}_4$ 、 $\text{H}_2\text{O}_2$ 、DMSO(二甲基亚砜)、三氯乙酸、2-硫代巴比妥酸、抗坏血酸、柠檬酸钠、乙酸铵、甲醇、乙醇:分析纯,广州化学试剂厂。

### 1.1.2 主要仪器设备

可见分光光度计:2100型,上海尤尼科仪器有限公司;

电子天平:BS110S型,北京赛多利斯科学仪器有限公司;

超声波清洗机:SB3200D型,宁波新芝生物科技股份有限公司;

便携式pH计:YSI pH100型,上海维赛仪器贸易有限公司;

恒温水浴锅:DZKW型,北京市永光明医疗仪器厂;

电热恒温鼓风干燥器:DHG-9070A型,上海精宏实验设备有限公司。

## 1.2 方法

1.2.1 DNA保护能力分析法 参考文献[11]修改如下,取适量(0,100,150,200,250,300 μL)牡荆素溶液(2 mg/mL,DMSO溶解)至离心管中,挥干溶剂,往其中加入300 μL的 $\text{KH}_2\text{PO}_4/\text{Na}_2\text{HPO}_4$ 缓冲溶液(0.2 mol/L,pH=7.4)和100 μL  $\text{Na}_2\text{EDTA}$ 溶液(0.25 mmol/L)。随后,依次加入50 μL  $\text{FeCl}_3$ 溶液(1.6 mmol/L),75 μL的 $\text{H}_2\text{O}_2$ 溶液(16.8 mmol/L)和50 μL底物DNA溶液(5 mg/mL鱼精DNA钠盐)。再加入75 μL抗坏血酸溶液(33.6 mmol/L),补加缓冲溶液,使反应液总体积达到1 050 μL,摇匀,将该离心管置于50 °C水浴中20 min,取出,再加入250 μL三氯乙酸溶液(100 mg/mL)和150 μL 2-硫代巴比妥酸溶液(50 mg/mL),于105 °C烘箱中加热15 min,在532 nm处测定其吸光度值A。试验以Trolox和BHA为阳性对照。按

式(1)计算牡荆素对DNA的保护率R。

$$R = \left(1 - \frac{A}{A_0}\right) \times 100\%, \quad (1)$$

式中:

R——DNA保护百分率,%;

$A_0$ ——未加样品的溶液吸光度;

A——加入样品后溶液的吸光度。

1.2.2 Ferrozine法 参考文献[11]修改如下:取 $\text{FeCl}_2$ 溶液(250 μmol/L)0.1 mL,加适量(0,400,600,1 200,1 600,2 000 μL)牡荆素(0.01 mg/mL,DMSO溶解)溶液,充分混合后静置3 min,再加入0.8 mL甲醇,0.15 mL Ferrozine(500 μmol/L)溶液,静置5 min后,在562 nm下测定吸光度值A。按式(2)计算牡荆素对 $\text{Fe}^{2+}$ 络合率C。

$$C = \left(1 - \frac{A}{A_0}\right) \times 100\%, \quad (2)$$

式中:

C—— $\text{Fe}^{2+}$ 络合百分率,%;

$A_0$ ——未加样品的溶液吸光度;

A——加入样品后溶液的吸光度。

1.2.3  $\text{Fe}^{2+}$ 络合产物UV-Vis光谱分析 参考文献[12]修改如下:取样品溶液(1 mg/mL,DMSO溶解)100 μL,加入100 mg/mL  $\text{FeCl}_2$ 溶液300 μL,再加入甲醇水(1:1)600 μL。在反应0,5,10,20,30,40,50,60,120 min时进行UV-Vis光谱扫描。最后对反应液、样品液和 $\text{FeCl}_2$ 溶液进行颜色对比。

1.2.4  $\text{Cu}^{2+}$ 还原法 参考文献[11]修改如下:取10 mmol/L  $\text{CuSO}_4$ 溶液和7.5 mmol/L新铜试剂各125 μL混匀,依次加入牡荆素溶液(0.5 mg/mL,DMSO溶解)x μL(x=150,200,250,300,350),0.1 mol/L乙酸铵缓冲液(700-x) μL,混合后静置30 min,在450 nm下测吸光度值A。按式(3)计算牡荆素对 $\text{Cu}^{2+}$ 相对还原率S。

$$S = \left( \frac{A - A_0}{A_{\max} - A_0} \right), \quad (3)$$

式中:

S—— $\text{Cu}^{2+}$ 的相对还原百分率,%;

$A_0$ ——未加样品液时所测吸光度;

$A_{\max}$ ——一次测量内最大的吸光度;

A——加入样品液时所测吸光度。

## 2 结果与分析

### 2.1 DNA保护能力及机制

由于 $\cdot\text{OH}$ 进攻DNA的脱氧核糖部分会生成MDA等毒性物质,从而导致多种疾病的发生<sup>[13-15]</sup>。因此,抑制MDA的生成,可有效保护DNA免受氧化损伤。通过检测MDA与2-硫代巴比妥酸形成的硫代巴比妥酸反应产物(thiobarbituric acid reactive substances,TBARS)复合物的含量,可以检测MDA的存在。TBARS在532 nm处有最大吸收。如果 $A_{532\text{ nm}}$ 值降低,则表明MDA的生成得到了有效抑制,DNA在一定程度上受到保护。因此,该模型可用来评估DNA氧化损伤的程度。如图2(a)所示,在0~0.6 mg/mL

的浓度范围内,牡荆素的DNA保护能力与其浓度呈现出良好的量效关系。从表1可以看出,其DNA保护能力约为

Trolox的2.50倍。这表明,牡荆素能保护DNA免受·OH诱导的氧化损伤。

表1 各个检测指标下样品和阳性对照的 $IC_{50}$ 值<sup>†</sup>Table 1 The  $IC_{50}$  values of vitexin and the positive controls

检测指标	牡荆素/ ( $\mu\text{mol} \cdot \text{L}^{-1}$ )	阳性对照			比值
		水溶性维生素E/ ( $\mu\text{mol} \cdot \text{L}^{-1}$ )	BHA/ ( $\mu\text{mol} \cdot \text{L}^{-1}$ )	柠檬酸钠/ ( $\mu\text{mol} \cdot \text{L}^{-1}$ )	
DNA保护能力分析法	919.60±23.60 <sup>a</sup>	2 297.60±145.20 <sup>b</sup>	2 580.80±56.01 <sup>b</sup>	N.D.	2.50
Fe <sup>2+</sup> 络合法	9.30±1.20 <sup>a</sup>	N.D.	N.D.	9.60±2.80 <sup>a</sup>	1.03
Cu <sup>2+</sup> 还原法	421.70±29.20 <sup>b</sup>	350.20±86.00 <sup>a</sup>	414.70±134.90 <sup>b</sup>	N.D.	0.83

<sup>†</sup>  $IC_{50}$ 指被测量的拮抗剂的半抑制浓度;同行不同上标字母表示数据有显著差异( $P<0.05$ );比值指相应指标下水溶性维生素E或柠檬酸钠的 $IC_{50}$ 与牡荆素的 $IC_{50}$ 之比;N.D.指不需测。

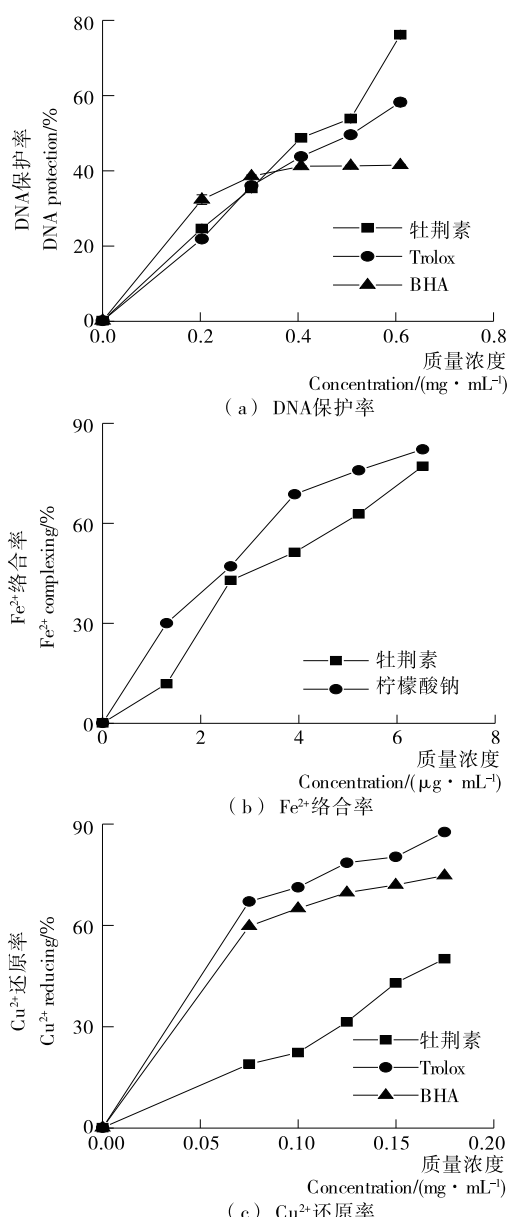


图2 牡荆素抗氧化作用的量效关系图

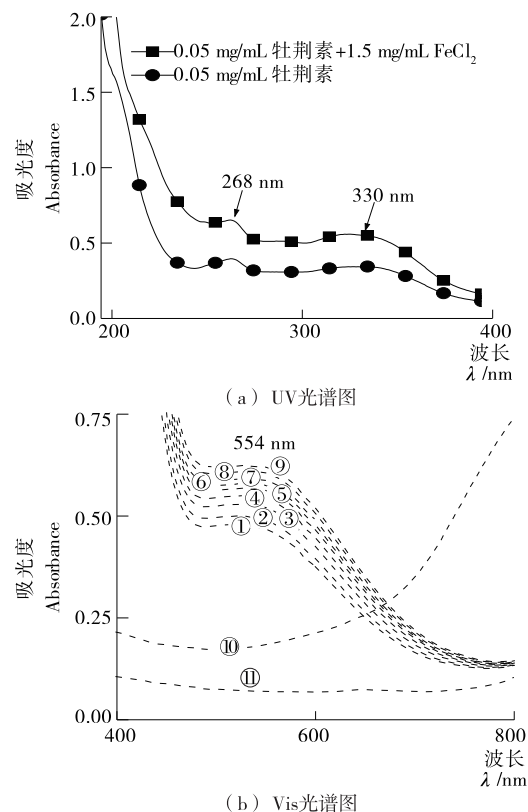
Figure 2 The dose response curves of vitexin in various antioxidant assays

## 2.2 Fe<sup>2+</sup>络合活性及机制

据文献[16]报道,在H<sub>2</sub>O<sub>2</sub>对酒石酸的氧化过程中,Fe<sup>2+</sup>可以极大提高反应速率,后通过顺磁共振试验(ESR)证实,在此反应体系中,·OH是实际的氧化中间体。在没有金属离子存在时,DNA能对抗浓度约10 mmol/L的H<sub>2</sub>O<sub>2</sub>[17],但只要有皮克级的Fe<sup>2+</sup>参与反应,就能够使H<sub>2</sub>O<sub>2</sub>转化成·OH,从而引起DNA的氧化损伤<sup>[18]</sup>。在细胞中,这种催化作用通过Fenton反应( $\text{Fe}^{2+} + \text{H}_2\text{O}_2 \rightarrow \text{Fe}^{3+} + \cdot\text{OH} + \cdot\text{OH}^-$ )实现<sup>[12,19-22]</sup>。因此,络合Fe<sup>2+</sup>可以有效地减少·OH的生成,从而保护DNA免受·OH诱导的氧化损伤,使细胞能健康成长甚至分化<sup>[23]</sup>。

从图2(b)中可以看出,在0~7 μg/mL的浓度范围内,牡荆素对Fe<sup>2+</sup>的络合能力与其浓度呈现剂量相关性。据表1可知,牡荆素、柠檬酸钠的铁络合能力的 $IC_{50}$ 值分别为(9.3±1.2),(9.6±2.8) μmol/L,二者没有显著的统计学差异,表明两者的铁络合能力相似。从图3(a)可知,络合产物在200~400 nm的波长范围内,其紫外吸收强度有一定程度的增加。从图3(b)可以看出,牡荆素在与Fe<sup>2+</sup>混合的60 min与120 min的吸收强度很接近(线条⑧和⑨),说明该反应在60 min时已基本达到平衡。而在二者混合的瞬间(0 min),即在554 nm处生成新的吸收峰(线条①),其强度已超过120 min时(线条⑨)吸收强度的50%,说明牡荆素的Fe<sup>2+</sup>络合反应是一个快速反应。此时,牡荆素样品溶液由淡黄色变成了黄绿色,其554 nm处摩尔吸光系数 $\epsilon=2 680.74 \text{ L}/(\text{mol} \cdot \text{cm})$ 。总之,牡荆素对Fe<sup>2+</sup>有一定的络合作用,该络合作用可能是牡荆素保护DNA免受氧化损伤的机制之一。

牡荆素络合Fe<sup>2+</sup>的能力,与其分子结构的特点有关。牡荆素分子的4-羧基和5-羟基为其平面构型,Fe<sup>2+</sup>易在此处构成一个平面的环状结构。因此,牡荆素可能在4-羧基-5-羟基之间存在一个Fe<sup>2+</sup>络合位点,其络合反应式见图4。由图4可知,Fe<sup>2+</sup>在4-羧基-5-羟基之间形成了一个六元环,由于六元环的角张力最小,所以,其Fe<sup>2+</sup>络合的片段结构是稳定的,与此前的一些报道<sup>[18,19,22,24]</sup>相吻合。综上,牡荆素的Fe<sup>2+</sup>络合能力得益于其环状的结构。对于一些链状的脂肪酸(如十六酸)而言,则不可能与Fe<sup>2+</sup>络合<sup>[25-26]</sup>;而对于一些



①~⑨ 分别为 0.1 mg/mL 牡荆素与 30 mg/mL  $\text{Fe}^{2+}$  络合 0, 5, 10, 20, 30, 40, 50, 60, 120 min 后的扫描结果；⑩ 为 0.1 mg/mL 牡荆素溶液扫描结果；⑪ 为 30 mg/mL  $\text{FeCl}_2$  溶液扫描结果

图 3 牡荆素与  $\text{Fe}^{2+}$  络合产物的 UV 光谱图及 Vis 光谱图

Figure 3 The UV-spectra and Vis-spectra of vitexin binding to  $\text{Fe}^{2+}$  complexing

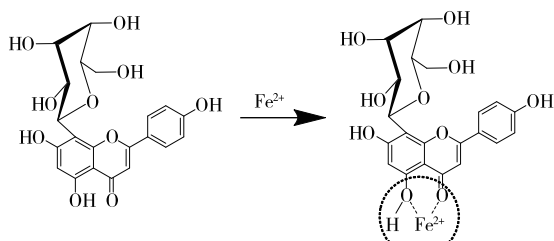


图 4 牡荆素络合  $\text{Fe}^{2+}$  的可能反应

Figure 4 The possible reaction of vitexin complexing with  $\text{Fe}^{2+}$

环状的倍半萜内酯(如白术内酯<sup>[27]</sup>)而言,由于没有环外的羧基或羟基,同样不能表现出  $\text{Fe}^{2+}$  络合活性。这反过来印证了:牡荆素络合  $\text{Fe}^{2+}$  的能力,与分子的环状结构(特别是平面构型的 4-羧基-5-羟基)相关。

### 2.3 $\text{Cu}^{2+}$ 还原活性及机制

由图 2(c)可知,在 0.00~0.16 mg/mL 的浓度范围内,牡荆素对  $\text{Cu}^{2+}$  的还原能力与其浓度呈现出良好的剂量相关性。这表明牡荆素具有一定的  $\text{Cu}^{2+}$  还原能力。而  $\text{Cu}^{2+}$  还原本质上是一个电子转移的过程<sup>[16~18]</sup>,因此,在牡荆素保护 DNA 免受  $\cdot \text{OH}$  诱导的氧化损伤的过程中,可能涉及到电子转移。

### 3 结论

牡荆素具有良好的保护 DNA 免受  $\cdot \text{OH}$  诱导的氧化损伤的能力。其保护机制可能与电子转移及  $\text{Fe}^{2+}$  络合有关。其  $\text{Fe}^{2+}$  络合反应的位点,可能在 4-羧基-5-羟基之间。这些抗氧化化学机制的阐释,将推动牡荆素在 DNA 氧化损伤相关的疾病方面发挥作用。

### 参考文献

- [1] CADET J, WAGNER J R. DNA base damage by reactive oxygen species, oxidizing agents, and UV radiation[J]. Cold Spring Harbor Perspectives in Biology, 2013, 5(2): a12 559.
- [2] KULMS D, ZEISE E, PÖPPELMANN B, et al. DNA damage, death receptor activation and reactive oxygen species contribute to ultraviolet radiation-induced apoptosis in an essential and independent way[J]. Oncogene, 2002, 21(38): 5 844.
- [3] KARKI K, PANDE D, NEGI R, et al. An Assessment of oxidative damage and non-enzymatic antioxidants status alteration in relation to disease progression in breast diseases[J]. Med Sci (Basel), 2016, 4(4): 17.
- [4] NORISHADKAM M, ANDISHMAND S, ZAVAR REZA J, et al. Oxidative stress and DNA damage in the cord blood of preterm infants[J]. Mutat Res, 2017, 824: 20~24.
- [5] LI Xi-can, CHEN Dong-feng, MAI Ying, et al. Concordance between antioxidant activities in vitro and chemical components of Radix Astragali (Huangqi)[J]. Natural Product Research, 2012, 26(11): 1 050~1 053.
- [6] 王鑫波, 高敏, 童丽姣, 等. 山楂叶提取物中牡荆素鼠李糖苷的含量测定[J]. 中华中医药学刊, 2010, 28(10): 2 098~2 100.
- [7] JURIKOVA T, SOCHOR J, ROP O, et al. Polyphenolic profile and biological activity of Chinese hawthorn (Crataegus pinnatifida BUNGE) fruits [J]. Molecules, 2012, 17 (12): 14 490~14 509.
- [8] KANG Jie, LI Zhi-min, WU Tong, et al. Anti-oxidant capacities of flavonoid compounds isolated from acai pulp (Euterpe oleracea Mart.)[J]. Food Chemistry, 2010, 122(3): 610~617.
- [9] ZHANG Xue, XU Dao-hua. Research progress of pharmacological action of vitexin[J]. China Medical Herald, 2013, 35: 41~44.
- [10] NI Qin-xue, LIU Ying-kun, GONG Ling-xiao, et al. Active components in six kinds of ground bamboo leaves and their anti-oxidant activities [J]. Chinese Traditional & Herbal Drugs, 2011, 42(11): 2 317~2 321.
- [11] LI Xi-can, MAI Wen-qiong, LI Wang, et al. A hydroxyl-scavenging assay based on DNA damage *in vitro*[J]. Analytical Biochemistry, 2013, 438(1): 29~31.
- [12] JIANG Qian, LI Xi-can, TIAN Ya-ge, et al. Lyophilized aqueous extracts of Mori Fructus and Mori Ramulus protect mesenchymal stem cells from  $\cdot \text{OH}$ -treated damage: bioassay and antioxidant mechanism[J]. Bmc Complementary & Alternative Medicine, 2017, 17(1): 242~252.
- [13] LI Xi-can, HU Qiu-ping, JIANG Shu-xia, et al. Flos Chrysanthemi Indici protects against hydroxyl-induced damages to DNA and MSCs via antioxidant mechanism [J]. Journal of Saudi

- Chemical Society, 2015, 19(4): 454-460.
- [14] KIWI J, LOPEZ A, NADTOCHENKO V. Mechanism and kinetics of the • OH-radical intervention during Fenton oxidation in the presence of a significant amount of radical Scavenger (Cl<sup>-</sup>) [J]. Environmental Science & Technology, 2000, 34(11): 2 162-2 168.
- [15] PERRON N R, BRUMAGHIM J L. A review of the antioxidant mechanisms of polyphenol compounds related to iron binding [J]. Cell Biochemistry & Biophysics, 2009, 53(2): 75-100.
- [16] LIN Jing, LI XI-can, LI Chen, et al. Protective effect against hydroxyl radical-induced DNA damage and antioxidant mechanism of [6]-gingerol: A Chemical Study [J]. Bulletin of the Korean Chemical Society, 2014, 35(6): 1 633-1 638.
- [17] LI XI-can, LIU Jing-jing, LIN Jing, et al. Protective effects of dihydromyricetin against • OH-induced mesenchymal stem cells damage and mechanistic chemistry [J]. Molecules, 2016, 21(5): 604-616.
- [18] LI XI-can, MAI Wen-qiong, CHEN Dong-feng. Chemical study on protective effect against hydroxyl-induced DNA damage and antioxidant mechanism of myricitrin [J]. Journal of the Chinese Chemical Society, 2014, 61: 383-391.
- [19] LI XI-can, JIANG Qian, WANG Ting-ting, et al. Comparison of the antioxidant effects of quercitrin and isoquercitrin: understanding the role of the 6''-OH group [J]. Molecules, 2016, 21(9): 1 246-1 256.
- [20] MARINOV N M. A detailed chemical kinetic model for high temperature ethanol oxidation [J]. International Journal of Chemical Kinetics, 2015, 31(3): 183-220.
- [21] XIE Yu-lu, LI XI-can, XU Jie-ying, et al. Two phenolic antiox-
- idants in Suoyang, enhance viability of • OH-damaged mesenchymal stem cells: comparison and mechanistic chemistry [J]. Chemistry Central Journal, 2017, 11(1): 84-94.
- [22] WANG Ting-ting, ZENG He-ping, LI Xi-can, et al. In vitro studies on the antioxidant and protective effect of 2-substituted-8-hydroxyquinoline derivatives against H<sub>2</sub>O<sub>2</sub>-Induced oxidative stress in BMSCs [J]. Chemical Biological Drug Design, 2010, 75(2): 214-222.
- [23] LI XI-can, LU Han, LI Yun-rong, et al. Protective effect of sinapine against hydroxyl radical-induced damage to mesenchymal stem cells and possible mechanisms [J]. Chem. Pharm. Bull. 64, 319-325,
- [24] WANG Guang-rong, LI XI-can, ZENG He-ping. Synthesis, antioxidation activity of (E)-9-p-Tolyl-3-[2-(8-hydroxy-quinol-2-yl)vinyl]-carbazole and (E)-9-(p-Anisyl)-3-[2-(8-hydroxy-quinol-2-yl)vinyl]-carbazole and their induction proliferation of mesenchymal stem cells [J]. Act Chimica Sinica, 2009, 67(9): 974-982.
- [25] CHEN Dong-feng, LI XI-can, XU Zhi-wei, et al. Hexadecanoic acid from Buzhong Yiqi decoction induced proliferation of bone marrow mesenchymal stem cells [J]. Journal of Medicinal Food, 2010, 13(4): 967-970.
- [26] LI XI-can, HAN Wei-juan, MAI Wen-qiong, et al. Antioxidant activity and mechanism of tetrahydroamentoflavone in vitro [J]. Natural Product Communications, 2013, 8(6): 787-789.
- [27] LI XI-can, WEI Gang, WANG Xiao-zhen, et al. Targeting of the Shh pathway by atactylenolides promotes chondrogenic differentiation of mesenchymal stem cells [J]. Biological & Pharmaceutical Bulletin, 2012, 35(8): 1 328-1 335.

(上接第48页)

因此,电饭煲烹饪曲线设计时可适当提高吸水阶段的起始温度,并缩短沸腾时间,有利于米粒均匀充分地吸水受热糊化,从而改善米饭的适口性品质。

### 参考文献

- [1] 周显青,王学锋,张玉荣,等.米饭食味品质评价技术进展[J].粮油食品科技,2013,21(1): 56-61.
- [2] 张强.方便快餐米饭开发与品质控制研究[D].合肥:安徽农业大学,2014: 17-18.
- [3] 李欢欢.微压蒸煮米饭工艺设计优化及米饭品质研究[D].武汉:华中农业大学,2010.
- [4] PEREZ J H, TANAKA F, UCHINO T. Comparative 3D simulation on water absorption and hygroscopic swelling in japonica rice grains under various isothermal soaking conditions [J]. Food Research International, 2011, 44(9): 2 615-2 623.
- [5] LEELAYUTHSOONTORN P, THIPAYARAT A. Textural and morphological changes of Jasmine rice under various elevated cooking conditions [J]. Food Chemistry, 2006, 96(4): 606-613.
- [6] BRIFFAZ A, BOHUON P, MÉOT J M, et al. Modelling of water transport and swelling associated with starch gelatinization during rice cooking [J]. Journal of Food Engineering, 2014, 121: 143-151.
- [7] LIN Shun-shun, ZHANG Xiao-ming, SONG Shi-qing, et al. Tobacco alkaloids reduction by casings added/enzymatic hydrolysis treatments assessed through PLSR analysis [J]. Regulatory Toxicology and Pharmacology, 2016, 75: 27-34.
- [8] BIZZANI M, FLORES D W M, COLNAGO L A, et al. Non-invasive spectroscopic methods to estimate orange firmness, peel thickness, and total pectin content [J]. Microchemical Journal, 2017, 133: 168-174.
- [9] 李婷,季宇寒,张漫,等.基于PLSR和BPNN方法的番茄光合速率预测比较[J].农业工程学报,2015,31(S2): 222-229.
- [10] TAMURA M, NAGAI T, HIDAKA Y, et al. Changes in histological tissue structure and textural characteristics of rice grain during cooking process [J]. Food Structure, 2014, 1(2): 164-170.
- [11] HORIGANE A K, SUZUKI K, YOSHIDA M. Moisture distribution in rice grains used for sake brewing analyzed by magnetic resonance imaging [J]. Journal of Cereal Science, 2014, 60(1): 193-201.
- [12] 李维强.大米食味性影响因素探讨[J].粮食加工,2012,37(3): 28-31.
- [13] 徐侃.冷冻米饭生产工艺及其品质特性的研究[D].杭州:浙江工商大学,2011: 32-33.
- [14] MOHORIĆ A, VERGELDT F, GERKEMA E, et al. Magnetic resonance imaging of single rice kernels during cooking [J]. Journal of Magnetic Resonance, 2004, 171(1): 157-162.